

Физико-химические свойства смесей фторидов тяжелых металлов *

Сообщение IV. ДИАГРАММА ПЛАВКОСТИ СИСТЕМЫ ДИФТОРИД КСЕНОНА — ГЕКСАФТОРИД УРАНА

В. К. ЕЖОВ, В. Н. ПРУСАКОВ, Б. Б. ЧАЙВАНОВ

УДК 541.123

Диаграмма плавкости системы $XeF_2 - UF_6$ изучалась методом дифференциальной термографии.

Приведенная на рисунке диаграмма плавкости системы дифторид ксенона — гексафторид урана показывает, что она представляет собой смесь с неограниченной взаимной растворимостью компонентов в жидком состоянии и с кристаллизацией химических соединений без образования твердых растворов. На диаграмме плавкости имеется одна дистектическая точка, соответствующая образованию конгруэнтно плавящегося соединения стехиометрического состава $XeF_2 \cdot UF_6$. Температура плавления этого соединения оказалась равной $120 \pm 5^\circ C$.

Оценка устойчивости соединения $XeF_6 \cdot UF_6$ на основании кривой плавкости по методу Кендалля и Буджа * показала, что степень диссоциации соединения $XeF_2 \cdot UF_6$ в области его температуры плавления не превышает 20%.

Учитывая высокую теплоту сублимации дифторида ксенона и его склонность к образованию продуктов присоединения с кислотами Льюиса, структуру соединения $XeF_2 \cdot UF_6$ можно схематически представить следующим образом:

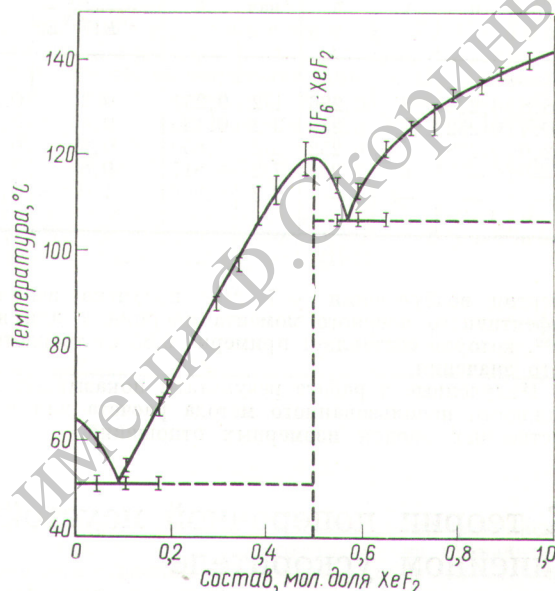
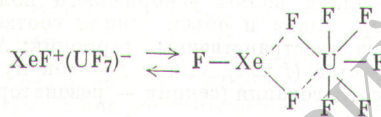


Диаграмма плавкости системы дифторид ксенона — гексафторид урана.

(№ 398/5407. Статья поступила в Редакцию 30/IV 1969 г., аннотация 29/I 1970 г. Полный текст 0,3 а. л., 1 рис., 1 табл., 5 библиографических ссылок.)

Расчет отношений изомерных сечений в реакции $Se^{80}(n, \gamma)Se^{81m, g}$

В. П. КОРОЛЕВА

УДК 539.172.4

С помощью нового метода [1] проведены расчеты отношений изомерных сечений $\eta = \sigma_m / \sigma_m + \sigma_g$ (σ_m и σ_g — сечения образования метастабильного и основного состояний) в реакции $Se^{80}(n, \gamma)Se^{81m, g}$ для нейтронов с энергией от тепловой до $3 Mэв$. В расчете использовалась формула для плотности ядерных уровней ρ , полученная на основе модели ферми-газа и учитывающая зависимость ρ как от энергии возбуждения U , так и от момента количества движения I .

В таблице представлены результаты расчета η^* для тепловых нейтронов в зависимости от параметра плотности уровней a , числа каскадов γ -излучения ν , начального спина составного ядра $I_{нач}$ и относительной доли квадрупольных переходов $K = N_{E2} / N_{E1} + N_{E2}$, где N_{E2} — число квадрупольных переходов, N_{E1} — число дипольных переходов.

На рисунке результаты расчета изомерных отношений ($a = 10,4 Mэв^{-1}$, $\nu = 5$, $K = 0$) сравниваются с имеющимися экспериментальными данными в области энергий нейтронов от $10 кэв$ до $3 Mэв$. Из сравнения теории с экспериментом видно, что расчетная кривая удовлетворительно описывает экспериментальные точки. Согласие теории с экспериментом может служить подтверждением правильности вида функции $\rho(U, I)$, которая использовалась в расчете. Кроме того, для

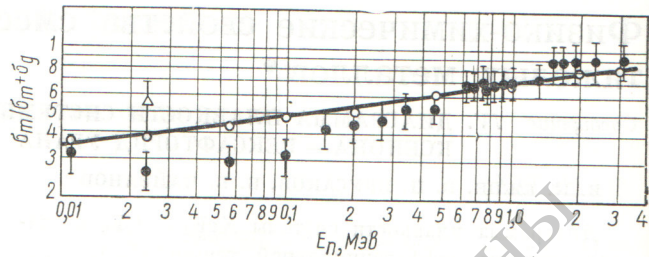
*В. Я. Аносов, С. А. Погодин. Основные начала физико-химического анализа. М.—Л., Изд-во АН СССР, 1947.

Результаты расчета отношений изомерных сечений для тепловых нейтронов

$\nu = 5;$ $I_{\text{нач}} = 1/2;$ $K = 0$		$\alpha = 10,4 \text{ Мэв}^{-1};$ $I_{\text{нач}} = 1/2;$ $K = 0$		$\alpha = 10,4 \text{ Мэв}^{-1};$ $\nu = 5; K = 0$		$\alpha = 10,4 \text{ Мэв}^{-1};$ $I_{\text{нач}} = 1/2;$ $\nu = 5$	
$\alpha,$ Мэв^{-1}	η	ν	η	$I_{\text{нач}}$	η	$K =$ $\frac{N_{E2}}{N_{E1} + N_{E2}}$	η
8,8	0,226	3	0,226	1/2	0,252	0,2	0,296
10,4	0,252	4	0,239	3/2	0,430	0,4	0,340
12,0	0,278	5	0,252	5/2	0,630	0,6	0,383
—	—	6	0,264	7/2	0,817	0,8	0,426
—	—	—	—	9/2	0,998	1,0	0,470

энергии возбуждения $\sim 7 \text{ Мэв}$ получена величина эффективного ядерного момента инерции J для ядра Se^{80} , которая составляет примерно 0,85 от твердотельного значения.

Полученные в работе результаты показывают возможность использованного метода расчета для количественных оценок изомерных отношений.



Сравнение расчета с экспериментальными данными для изомерных отношений в реакции $\text{Se}^{80}(n, \gamma)\text{Se}^{81m, g}$.
 ○ — расчетные данные настоящей работы; ● — [2]; △ — [3].

(№ 400/5512. Статья поступила в Редакцию 29/VII 1969 г., аннотация 11/XI 1969 г. Полный текст 0,25 а. л., 1 рис., 9 библиографических ссылок.)

ЛИТЕРАТУРА

1. А. В. Малышев. Диссертация. Обнинск, 1967.
2. В. Е. Колесов и др. Доклад АСС-68/5 на Англо-Советском семинаре «Ядерные константы для расчета реакторов» (Дубна, 18—22 июня 1968 г.).
3. A. Chaudhry, M. Sehgal. Phys. Rev., 152, 1055 (1966).

К теории поперечной неустойчивости в секционированном линейном ускорителе

В. И. КУРИЛКО, А. П. ТОЛСТОЛУЖСКИЙ

УДК 621.384.64

Рассмотрена теория поперечной неустойчивости с учетом взаимодействия ускоряемого пучка с пространственными гармониками поля дефокусирующих колебаний. Показано, что поперечное движение сгустка определяется уравнениями:

$$\frac{d}{dn} \left[\gamma(n) \frac{dX_m(n)}{dn} \right] = \sum_{l,r}^{m-1} \text{Re } G_r(m-l) U_r \bar{X}_{l,r}(n),$$

где

$$G_r(m-l) \equiv iI_r \exp[ik_r \lambda_0(m-l)], \quad I_r \equiv \frac{\pi e^2 N k_{\perp}^2 (2L)^3}{m_0 c^2 k_r V},$$

$$U_r \equiv \frac{\sin \theta_r}{\theta_r}, \quad \theta_r \equiv (k_r - k_{||}^{(r)}) L; \quad k_r \equiv \frac{\Omega_r}{c}$$

и

$$\bar{X}_{m,r}(n) = \sum_{l,s}^{m-1} K_{r,s}(m-l) \bar{X}_{l,s}(n) = X_m(n) U_r,$$

где

$$K_{r,s}(m) \equiv \frac{U_r}{4\gamma(n)} \text{Re} \left[\frac{e^{i\theta_s}}{\theta_s} G_r(m) \right] + \frac{1}{8\gamma(n)} \times \\ \times \int_{-1}^{+1} dx e^{i\theta_r x} \text{Re} \left\{ \left[x e^{i\theta_s} - \frac{e^{-i\theta_s} - e^{-i\theta_s x}}{i\theta_s} \right] \frac{G_r(m)}{i\theta_s} \right\}.$$

Здесь λ_0 — длина волны ускоряющего поля; n , $2L$ и V — номер, длина и объем секции соответственно; r , s — номера пространственных гармоник; N — число частиц в сгустке ($I \equiv ef_0 N$, где I — ток пучка). При отсутствии согласования (секция — резонатор) и малых токах, когда инкремент нарастания $\varepsilon \equiv \Omega \left[\frac{r_0 N}{\lambda_0 \gamma} \right]^{1/3}$ мал по сравнению с расстоянием $\Delta\omega \equiv \Delta k_{||} c = \frac{\pi c}{L}$ между черенковскими частотами соседних гармоник ($\varepsilon \ll \frac{c}{L}$), из (1) и (2) получаем [1—3]:

$$\frac{d}{dn} \left[\gamma(n) \frac{dX_m}{dn} \right] = \\ = 2I \sum_{l=1}^{m-1} X_l(n) \sin[\psi(m-l)] \exp[-\kappa(m-l)], \quad (3)$$

где

$$\psi \equiv \text{Re} \frac{\Omega \lambda_0}{c}; \quad \kappa \equiv \text{Im} \frac{\Omega \lambda_0}{c}.$$

Феноменологический учет дисперсии замедляющих свойств ускоряющей структуры при наличии согласования показывает, что в этом случае интерференция пространственных гармоник дефокусирующего поля уменьшает коэффициент связи I пучка с ускоряющей структурой пропорционально $\beta_g \equiv |V_{gp}|/c$.